

1—«осредненный моноплан»; $c_x = 0,448$; 2—самолет со стреловидным тандемным крылом; $c_x = 0,616$

Рис. 51. Характеристики индуктивного сопротивления модели СВВП со стреловидным тандемным крылом ($\lambda = 3,51$; $c_{x_0} = 0,024$ для «осредненного моноплана» и $c_{x_0} = 0,028$ для стреловидного крыла)

наковый размах и не имели поперечного V. Крыло в плане было симметрично относительно поперечной оси самолета и имело оптимальную аэродинамическую крутку для минимизации коэффициента $c_{x \text{ инд}}$ при расчетном значении $c_y = 0,35$. Испытания проводились для числа $M = 0,3$. В качестве характеристической площади была принята площадь обоих крыльев, имеющих удлинение 3,51. При угле атаки $\alpha = 0$ значение z_t составило 0,178. Испытания проходили как на модели с обоими крыльями, так и на модели с одним крылом; были варианты, у которых концы крыльев были соединены концевыми шайбами.

На рис. 51 приведена зависимость $c_{x \text{ инд}}$ от c_y для схемы тандемного стреловидного крыла и схемы «осредненного моноплана». Для последнего эффективного удлинения $\lambda_{\text{эфф.пр}} = 0,448$, а для тандемного крыла $\lambda_{\text{эфф.пр}} = 0,616$. Такие величины $\lambda_{\text{эфф.пр}}$ приемлемы для области, лежащей ниже «излома» на графиках. Отношение этих удлинений (т. е. величина параметра Мунка) составляет 1,37, а величина коэффициента Мунка $M_{\text{ит}} = 1,24$. Дальнейшее снижение $c_{x \text{ инд}}$ происходит за счет сдвига $c_{y \text{ min}}$, величина которого увеличивается от 0,05 для «осредненного моноплана» до 0,112 для самолета с тандемным крылом. Нижний излом на графике при $c_y = 0,285$, очевидно, вызван преждевременным срывом на переднем крыле. Это связано с принятым законом изменения крутки и относительно тонким профилем ($c = 0,06$).

По результатам исследований схемы СВВП с тандемным крылом фирма Воут пришла к выводу, что в отношении $c_{x \text{ инд}}$ данная схема предпочтительнее моноплана и даже лучше, чем предсказывала теория.

На основе теоретических и экспериментальных исследований фирма Воут разработала несколько проектов СВВП с тандемным крылом. На рис. 52 показана схема противолодочного СВВП, который имеет переднее крыло с небольшим поперечным V, заднее выполнено по типу «чайки». Размах крыльев одинаков. Для определения геометрических параметров самолета была использована машинная программа ASAP, разработанная фирмой Воут. Одновременно фирма провела сравнение СВВП с тандемным крылом с самолетом обычной схемы. Результаты этого сравнения даны в табл. 8.

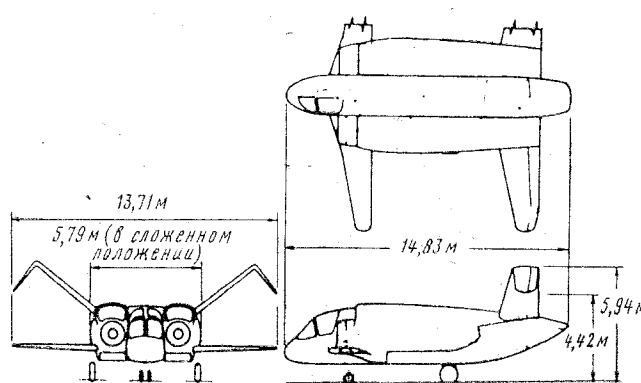


Рис. 52. Схема противолодочного СВВП с тандемным крылом фирмы Воут

Таблица 8

| Расчетные характеристики | СВВП с тандемным крылом | Самолет обычной схемы |
|---|-------------------------|-----------------------|
| Размах крыла, м | 13,72 | 17,92 |
| Площадь крыла, м ² | 20,1* | 41,8 |
| Площадь горизонтального оперения, м ² | 25,18** | 9,94 |
| Смачиваемая поверхность $S_{\text{смач}}$, м ² $c_{x \text{ max}}/S_{\text{смач}}$ | 239,2 0,00546 | 262,3 0,00536 |
| Аэродинамическое качество на крейсерском режиме | 13,2 | 12,3 |
| Взлетный вес, кгс | 19 385 | 19 827 |
| Вес конструкции, кгс | 4 930 | 4 936 |
| Вес силовой установки, кгс | 4 083*** | 4 168 |
| Вес несъемного оборудования, кгс | 2 992 | 3 076 |
| Вес пустого, кгс | 12 005 | 12 190 |
| Полезная нагрузка, кгс | 2 275 | 2 277 |
| Вес топлива, кгс | 5 105 | 5 360 |

* Переднее крыло.

** Заднее крыло.

*** За счет меньших по размерам двигателей.

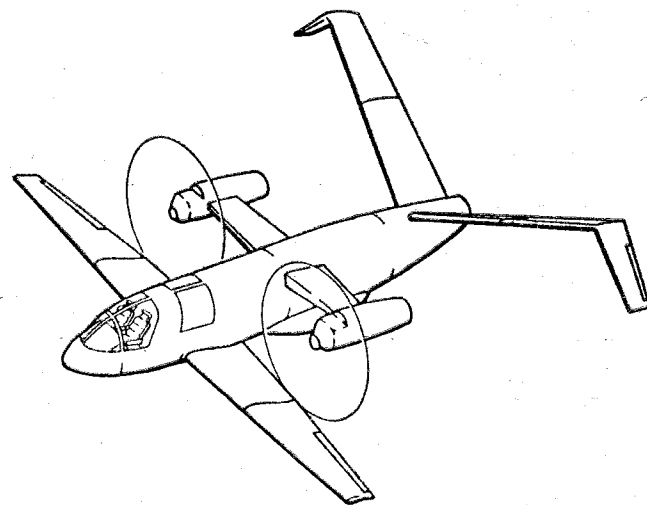


Рис. 53. Рисунок СВВП фирмы Воут с тандемным крылом и двумя поворотными винтами

Фирма разработала также СВВП с поворотными винтами и тандемным крылом, рисунок которого показан на рис. 53 [12].